

## АППРОКСИМАЦИЯ ФОРМУЛЫ ПЛАНКА ДЛЯ РАВНОВЕСНОГО ИЗЛУЧЕНИЯ ДВУМЯ КОМПОНЕНТАМИ С ПРОИЗВОЛЬНЫМИ АМПЛИТУДАМИ НА ПРИМЕРЕ ИЗЛУЧЕНИЯ ХОКИНГА

Возможность снятия вырождения в формуле Планка [1] и образования в равновесном излучении различных фундаментальных физических объектов - от «чёрных тел» до «чёрных дыр» и реликтового излучения - двух компонент, была выдвинута и обоснована автором статьи в работах [2-4].

В данной статье сообщается о получении компактной и изящной формулы, позволяющей аппроксимировать формулы Планка как для спектрального распределения мощности излучения, так и для суммарной мощности излучения с любой (!) точностью суммой двух компонент с произвольными амплитудами на примере излучения Хокинга от вращающихся чёрных дыр. При этом в результате аналитических оценок и компьютерных расчётов сложная задача 4-х параметрической аппроксимации формул Планка двумя параметрами в показателях экспонент и двумя амплитудными множителями сведена к 2-х параметрической формуле, в которой один из параметров определяет показатели экспонент, а второй параметр определяется через отношение амплитуд компонент.

Предложенная Планком формула для плотности спектрального излучения чёрного тела  $u_\nu d\nu$  ( $[u_\nu d\nu] = \text{Дж} / \text{м}^3$ ) в интервале частот  $[\nu, \nu + d\nu]$  имеет вид:

$$u_\nu d\nu = (8\pi h / c^3) \cdot \nu^3 d\nu / [\exp(h\nu / kT) - 1] \quad (1),$$

где  $h$ ,  $k$  - постоянные Планка и Больцмана,  $c$  - скорость света,  $T$  - температура.

Исходя из (1) и учитывая соотношение  $\nu = c / \lambda$ , спектральную плотность излучения по длинам волн  $\lambda$  запишем в виде:

$$u_\lambda d\lambda = (8\pi hc) \cdot d\lambda / \lambda^5 [\exp(hc / kT\lambda) - 1] \quad (2)$$

Интегрируя (1) и (2) по всем частотам и длинам волн получим формулу для суммарной плотности излучения  $u_{\Sigma}$ :

$$u_{\Sigma} = \int_0^{\infty} u_{\nu} d\nu = \int_0^{\infty} u_{\lambda} d\lambda = 8\pi^5 (kT)^4 / 15(hc)^3 \quad (3)$$

Из (1)-(3) следует, что параметры излучения Планка выражаются как через фундаментальные физические и математические константы  $c, h, k, e, \pi$ , но и, как показано в [2], могут выражаться через константы золотого сечения  $\phi = (-1 + \sqrt{5}) / 2$ ,  $\Phi = (1 + \sqrt{5}) / 2$ , связанные соотношениями  $\Phi = 1 + \phi = 1 / \phi$ . Поскольку  $8/15 = (3+5)/3 \cdot 5 = (1/3 + 1/5)$ , а, числа 2, 3, 5 и, следовательно, любые целые числа *точно* выражаются через  $\phi, \Phi$ , то суммарное излучение можно представить, напр., в таком компактном и красивом виде:

$$u_{\Sigma} = ((kT)^4 / (hc)^3) \cdot \pi^5 [1 / (\phi^2 + \Phi^2) + 1 / (\phi + \Phi)^2] \quad (4)$$

Для упрощения дальнейшего анализа введём две безразмерные переменные  $\alpha$  и  $\beta$ , пропорциональные  $\nu$  и  $\lambda$ :  $\alpha = \nu \cdot h / kT$  и  $\beta = \lambda \cdot kT / hc$ ,  $\alpha \cdot \beta = 1$ . При этом спектральные плотности излучения (1), (2) выразятся через следующие функции  $U(\alpha)$  и  $U(\beta)$ :

$$U(\alpha) = \alpha^3 / (e^{\alpha} - 1), \quad U(\beta) = 1 / \beta^5 (e^{1/\beta} - 1) \quad (5),$$

$$u_{\nu} d\nu = A \cdot U(\alpha) d\alpha, \quad u_{\lambda} d\lambda = A \cdot U(\beta) d\beta, \quad A = 8\pi(kT)^4 / (hc)^3 \quad (6),$$

$$J = \int_0^{\infty} U(\alpha) d\alpha = \int_0^{\infty} U(\beta) d\beta = \pi^4 / 15 \quad (7)$$

Исходя из анализа соотношений (5)-(7), можно допустить возможность следующего разложения функций  $U(\alpha)$  и  $U(\beta)$  на две компоненты:

$$U(\alpha) = \alpha^3 / (e^{\alpha} - 1) = U1(\alpha) + U2(\alpha) = P_1 \cdot \alpha^{3-\eta_1} / (e^{\alpha} - 1) + P_2 \cdot \alpha^{3+\eta_2} / (e^{\alpha} - 1) \quad (8),$$

$$U(\beta) = 1 / \beta^5 (e^{1/\beta} - 1) = U1(\beta) + U2(\beta) = P_1 / \beta^{5-\eta_1} (e^{1/\beta} - 1) + P_2 / \beta^{5+\eta_2} (e^{1/\beta} - 1) \quad (9)$$

Аналитические оценки и компьютерные расчёты позволили установить, что точные соотношения (8),(9) можно аппроксимировать с любой (!) точностью, используя всего лишь два параметра: малый параметр  $\eta$  и параметр  $a$ , равный

отношению амплитуд спектральных компонент  $a = a_1 / a_2$ . При этом

$$\eta_1 = \eta, \quad \eta_2 = a \cdot \eta, \quad 0 \leq a = a_1 / a_2 \leq 1 \quad (10),$$

$$P_1 = a_1 / (a_1 + a_2) = 1 / (1 + 1/a), \quad P_2 = a_2 / (a_1 + a_2) = 1 / (a + 1) \quad (11)$$

Для примера для  $\eta = 0,1$  (рис. 1, 2 а),  $\eta = 0,01$  (рис. 1,2 б) и  $a = a_1 / a_2 = 3/5$  приведены расчётные графики для  $U(\alpha) = \alpha^3 / (e^\alpha - 1)$ ,  $U(\beta) = 1 / \beta^5 (e^{1/\beta} - 1)$  и 2-х спектральных компонент по частоте  $\alpha$  (рис. 1) и длине волны  $\beta$  (рис.2):

$$U_{101}(\alpha) = (3/8) \cdot \alpha^{3-\eta} / (e^\alpha - 1), \quad U_{201}(\alpha) = (5/8) \cdot \alpha^{3-\eta \cdot 3/5} / (e^\alpha - 1) \quad (12),$$

$$\Sigma U_{01}(\alpha) = U_{101}(\alpha) + U_{201}(\alpha), \quad \Delta U_{01}(\alpha) = U(\alpha) - \Sigma U_{01}(\alpha) \quad (13),$$

$$U_{101}(\beta) = (3/8) \cdot \beta^{-5+\eta} / (e^{1/\beta} - 1), \quad U_{201}(\beta) = (5/8) \cdot \beta^{-5-\eta \cdot 3/5} / (e^{1/\beta} - 1) \quad (14),$$

$$\Sigma U_{01}(\beta) = U_{101}(\beta) + U_{201}(\beta), \quad \Delta U_{01}(\beta) = U(\beta) - \Sigma U_{01}(\beta) \quad (15)$$

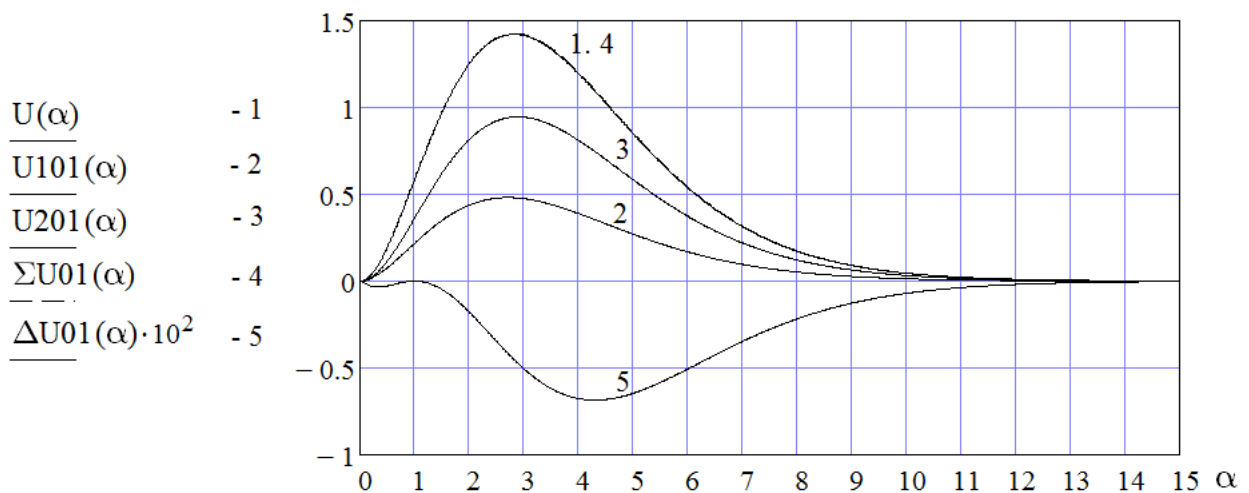


Рис. 1 а

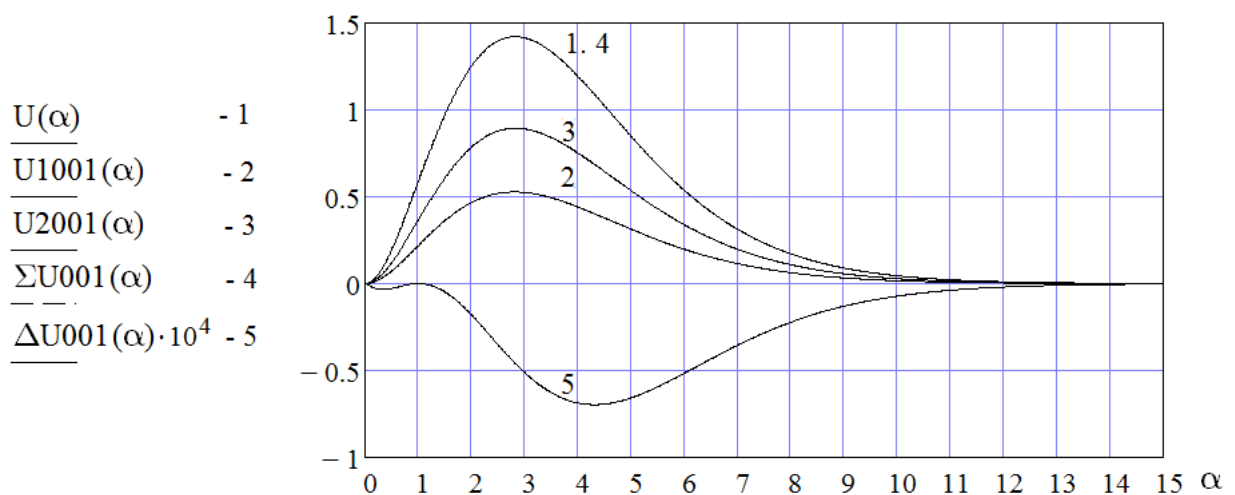


Рис. 1 б

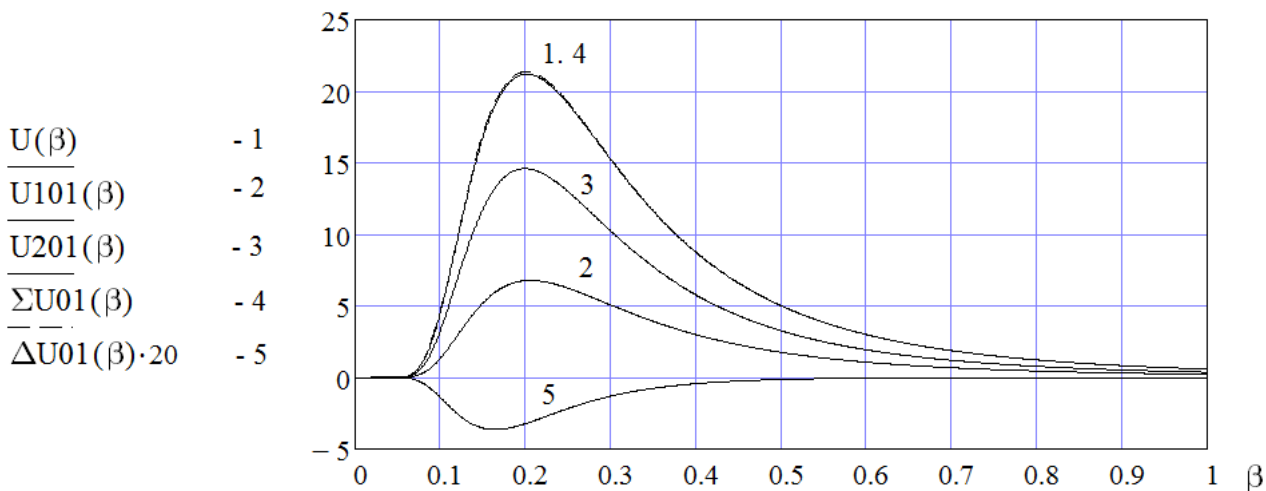


Рис. 2 а

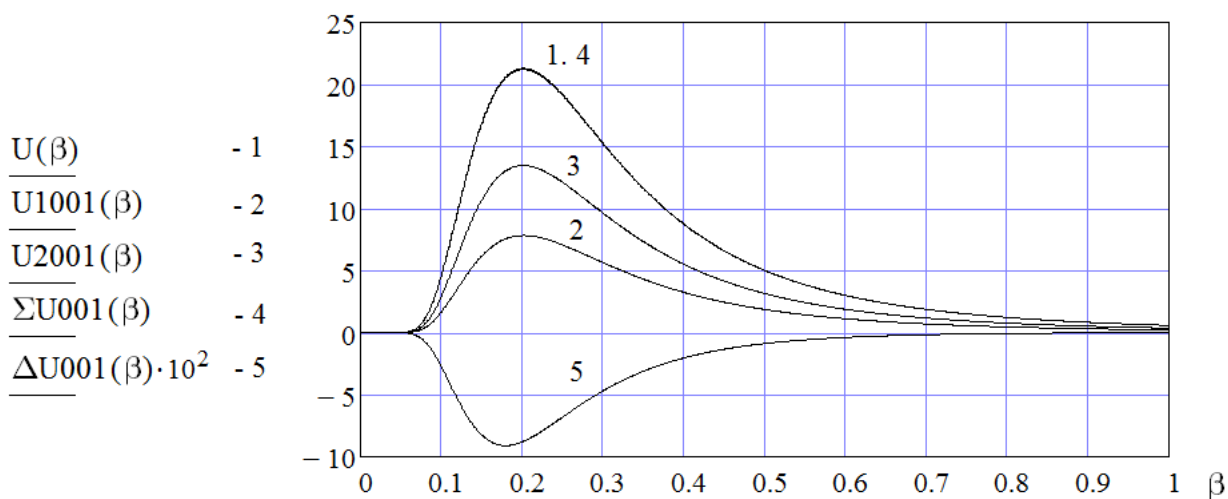


Рис. 2 б

Из рис. 1, 2 а. б следует, что визуально графики функций  $U(\alpha)$  и  $U(\beta)$  почти неотличимы от графиков функций  $\Sigma U_\eta(\alpha)$  и  $\Sigma U_\eta(\beta)$  как для  $\eta = 0,1$ , так и для  $\eta = 0,01$ . В то же время графики функций  $\Delta U_\eta(\alpha) = U(\alpha) - \Sigma U_\eta(\alpha)$  и  $\Delta U_\eta(\beta) = U(\beta) - \Sigma U_\eta(\beta)$  показывают, что при уменьшении  $\eta$  на порядок максимальные величины отклонений  $\Delta U_\eta(\alpha)$  и  $\Delta U_\eta(\beta)$  (т. е. точности аппроксимации) уменьшаются примерно на два порядка. важно также то, что форма отклонений  $\Delta U(\alpha)$ ,  $\Delta U_\eta(\beta)$  и положения максимумов в  $|\Delta U_\eta(\alpha)|$ ,  $|\Delta U_\eta(\beta)|$  по частоте  $\alpha$  и по длине волны  $\beta$  при этом практически не меняются.

Соответствующие графики  $\Delta U_\eta(\alpha)$ ,  $\Delta U_\eta(\beta)$  при  $\eta = 0,1; 0,01; 0,001$  (кривые 1, 2, 3 соответственно) показаны на рис. 3, 4.

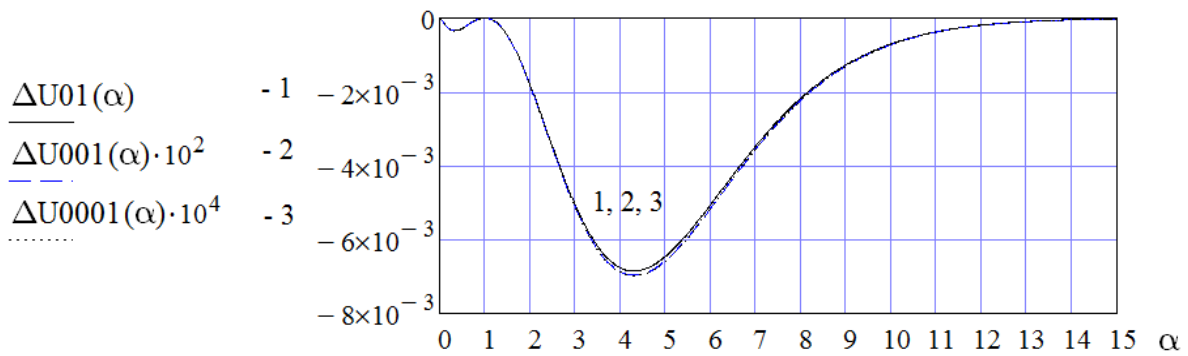


Рис. 3

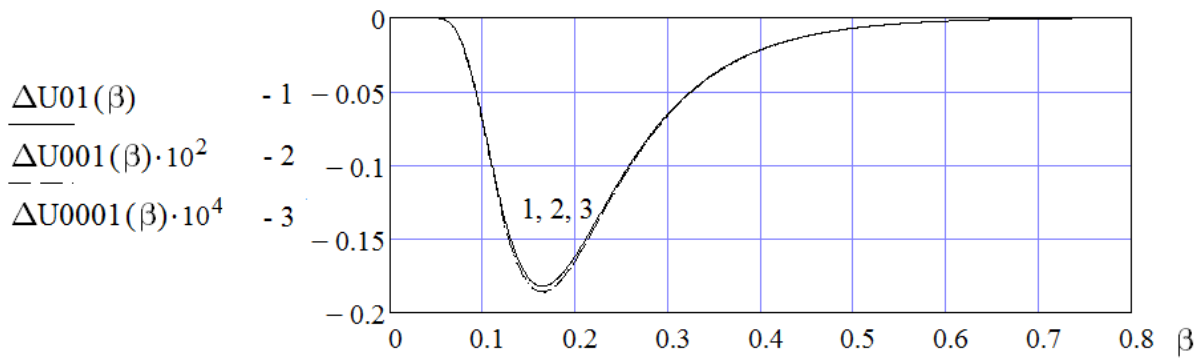


Рис. 4

Исследования зависимости отклонений  $\Delta U_{\eta}(\alpha)$ ,  $\Delta U_{\eta}(\beta)$  от соотношения амплитуд компонент  $0 \leq a = a_1 / a_2 \leq 1$  при постоянном  $\eta$  также показало, что при уменьшении  $a$  данные отклонения также уменьшаются, причём форма этих отклонений и положение их максимумов практически не изменяются. Соответствующие зависимости  $\Delta U_{\eta}(\alpha)$  при  $\eta = 0,1$  и  $a = 1,0; 0,6; 0,1$  (кривые 1, 2, 3) показаны на рис. 5.

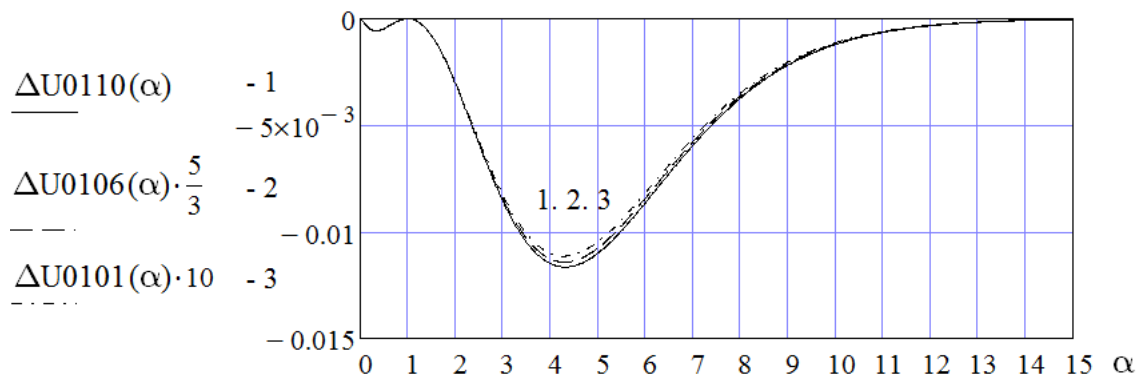


Рис. 5

Существенно, что минимальное отклонение  $|\Delta U(\alpha)| = 0$  имеет место при любых  $\eta$  и  $a$  при  $\alpha = 1$ , т.е. при  $h\nu = kT$ .

Перейдём теперь к рассмотрению положения максимумов в функциях, описывающих равновесное планковское излучение.

Вначале укажем, что длины волн для максимумов  $U(\alpha)$ ,  $U(\beta)$  различны:  $\lambda_{\nu \max} = hc / kT\alpha_{\max}$ ,  $\lambda_{\lambda \max} = hc\beta_{\max} / kT$ ,  $\lambda_{\lambda \max} / \lambda_{\nu \max} = 0,568 252$ . Причём в закон смещения Вина входит  $\lambda_{\lambda \max}$ :  $\lambda_{\lambda \max} \cdot T = hc\beta_{\max} / k \approx 0,289 776 \text{ см} \cdot \text{К}$ . Различие  $\lambda_{\nu \max}$  и  $\lambda_{\lambda \max}$  связано с неравенством интервалов  $d\nu$  и  $d\lambda$  в (1), (2).

В общем случае положение максимумов в функциях  $U\eta(\alpha) = \alpha^{3-\eta} / (e^\alpha - 1)$  (где для исходного излучения  $\eta = 0$ , для первой компоненты  $\eta_1 = \eta$ , для второй компоненты  $\eta_2 = -(a_1 / a_2) \cdot \eta$ ) определяется соотношением:

$$e^{-\alpha} = 1 - \alpha / (3 - \eta) \quad (16)$$

Уравнения типа (16) можно решать с помощью специальной W-функции Ламберта, не выражающейся через обычные функции и являющейся обратной функцией к функции  $z \cdot e^z$ , при этом по определению  $z = W(z) \cdot e^{W(z)}$ . В общем случае  $z$  - комплексное число, и функция Ламберта является многозначной,  $n$ -я ветвь которой обозначается  $W(n, z)$ . Для действительных чисел  $z = x \geq -1/e$  и  $W \geq -1$  используется однозначная функция  $W(0, x)$ . Графики функций  $-x \cdot e^{-x}$ ,  $\text{LambertW}(0, x)$ ,  $\text{LambertW}(-1, x)$  (кривые 1, 2, 3 соответственно) показаны на рис. 6.

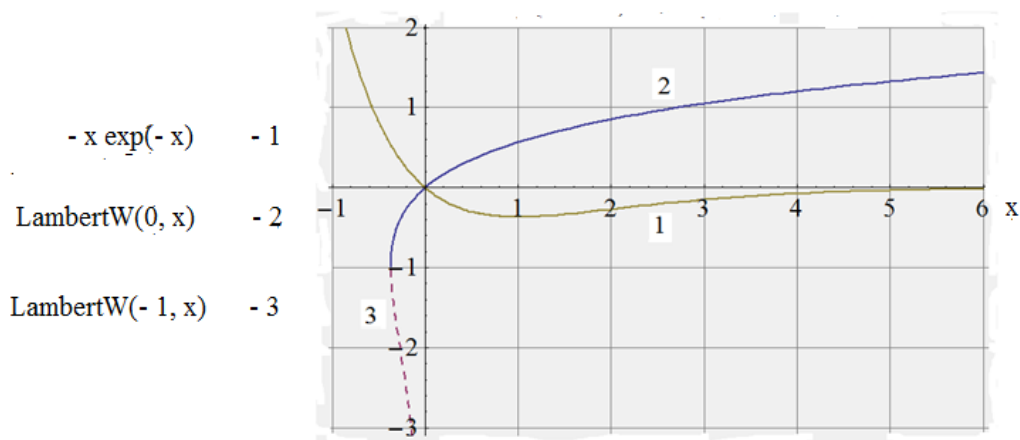


Рис. 6

Функции Ламберта вычисляются в современных математических пакетах программ. Так, в MathCad эти функции обозначаются LambertW(n, z), в Maple - Lambert W<sub>n</sub>(z). в Mathematica - ProductLog[n, z].

Решением простейшего уравнения  $x \cdot e^x = C$ , является  $x = W(0, C)$ .

Более же сложное уравнение типа (16) имеет следующее решение:

$$e^{-d \cdot x} = p \cdot x + q \Rightarrow x = q / p + W(d \cdot e^{dq/p} / p) / d \quad (17)$$

При  $x = \alpha$ ,  $d = 1$ ,  $p = -1 / (3 - \eta)$ ,  $q = 1$  решением уравнения (16) является

$$\alpha = 3 - \eta + W(0, -(3 - \eta) \cdot e^{-(3 - \eta)}) \quad (18)$$

Используя найденное выражение (18) для максимумов в спектрах излучения по частоте  $\alpha$  получим, что максимум в исходной формуле Планка, имеющий место при  $\eta = 0$ , реализуется при  $\alpha \approx 2,821\,439\,372\,121$ . Максимум для первой компоненты для случая  $\eta = 0,1$ , реализуется при  $\alpha_1 \approx 2,706\,334\,722\,909$ , Максимум для второй компоненты, имеющий место в данном случае при  $\eta = -0,1 \cdot 3 / 5$ , реализуется при  $\alpha_2 \approx 2,889\,929\,923\,266$ . Точность расчёта максимумов в спектрах излучения практически неограничена. Относительный интервал между максимумами по частоте  $2(\alpha_2 - \alpha_1) / (\alpha_1 + \alpha_2) \approx 6,562\%$

Аналогично с помощью функции Ламберта могут быть найдены максимумы для функций, описывающих излучение Планка по длине волны  $\beta = 1 / \alpha$ .  $U\eta(\beta) = \beta^{-5+\eta} / (e^{1/\beta} - 1)$  (где для исходного излучения  $\eta = 0$ , для первой компоненты  $\eta_1 = \eta$ , для второй компоненты  $\eta_2 = -(a_1 / a_2) \cdot \eta$ ) так как эти максимумы имеют место при

$$e^{-1/\beta - \eta} = 1 - 1/5(\beta - \eta) \quad \text{или при} \quad e^{-\alpha(5 - \eta)} = 1 - \alpha / (5 - \eta) \quad (19)$$

Уравнение (19) имеет тот же вид, что и уравнение (16), поэтому его решение по  $\alpha$  и  $\beta$  определяются соотношением аналогичным соотношению (18):

$$\alpha = 5 - \eta + W(0, -(5 - \eta) \cdot e^{-(5 - \eta)}), \quad \beta = 1 / \alpha \quad (20)$$

В итоге получаем, что для исходного излучения максимум излучения реализуется при  $\beta \approx 1 / 4,965\,114\,231\,744 \approx 0,201\,405\,235\,273$ . Для 1-й компоненты для  $\eta = 0,1$  – при  $\beta_1 \approx 1 / 4,862\,102\,388\,239 \approx 0,205\,672\,345\,037$ , для 2-й компоненты для  $\eta = -0,1 \cdot 3 / 5$  – при  $\beta_2 \approx 1 / 5,026\,807\,832\,487 \approx 0,198\,933\,405\,319$ . Относительный интервал между данными максимумами по длине волны равен  $2(\beta_1 - \beta_2) / (\beta_1 + \beta_2) \approx 3,331\%$ .

Проведённые далее компьютерные расчёты показали, что формулы Планка можно аппроксимировать суммой двух компонент не только для спектрального распределения мощности излучения, но и для суммарной мощности излучения определяемой интегральными соотношениями (7). При этом компьютерные расчёты показали резкое увеличение точности выполнения соотношений (7) при уменьшении  $\eta$ . Так, при  $\eta = 0,001$  и  $a = 3 / 5$  получаем:

$$I = \int_0^{700} \alpha^3 / (e^\alpha - 1) d\alpha \approx 6,493\,939\,402\,203, \quad \pi^4 / 15 \approx 4,493\,939\,402\,267 \quad (21),$$

$$J_1 = (3 / 8) \cdot \int_0^{700} \alpha^{3-0,001} / (e^\alpha - 1) d\alpha \approx 2,432\,325\,538\,444 \approx \pi^4 / 40 \quad (22),$$

$$J_2 = (5 / 8) \cdot \int_0^{700} \alpha^{3+3 \cdot 0,001/5} / (e^\alpha - 1) d\alpha \approx 4,051\,617\,295\,361 \approx \pi^4 / 24 \quad (23),$$

$$J_1 + J_2 \approx 6,493942833 \approx \pi^4 / 15, \quad J_1 / J_2 \approx 0,598\,256\,406 \approx 3 / 5 = a_1 / a_2 \quad (24),$$

$$(J_2 - J_1) / J \approx 0,250\,294\,293 \approx [(3 + 5) / 2]^{-1} = [(a_1 + a_2) / 2]^{-1} \quad (25)$$

Верхний предел в интегралах (21)-(23) определялся возможностью численного счёта быстро убывающих функций, при этом, как следует из сравнения значений интегралов с их точными значениями, отклонения от точных значений начинаются лишь с 11-го знака после запятой.

Отметим также, что суммарная мощность излучения Планка, согласно (7) равная  $\pi^4 / 15$  точно равна значениям ряда важных математических функций. Так, для Zeta-функции Римана, определяемой выражениями (26), получаем:



$$\text{Zeta}(z) = \sum_{n=1}^{\infty} 1/n^z = \prod_p 1/(1-p^{-z}), \quad n \in \mathbb{N}, z \in \mathbb{C}, p - \text{простые числа} \quad (26)$$

$$\pi^4/15 = 6 \cdot \text{Zeta}(4) = 12 \cdot \text{Zeta}^2(2)/5 = 21 \cdot \text{Zeta}(6)/2 \cdot \text{Zeta}(2) = 7 \cdot \text{Zeta}(8)/\text{Zeta}(6)$$

и т. д. При этом выявляется нетривиальная особенность излучения Планка, состоящая в том, что его суммарная мощность выражается через  $\pi$ , простые числа и симметричные комбинации констант золотого сечения:  $2 = \phi\Phi + \Phi\phi$ ,  $3 = \phi^2 + \Phi^2$ ,  $5 = (\phi + \Phi)^2$ ,  $4 = (3 + 5)/2 = \Phi^3 - \phi^3$  и т. д. Приведём пример получения числа  $\pi^4/15$  и с помощью  $\text{Psi}(m, x)$ -функции:

$$\text{Psi}(m, x) = d^m(\ln(\Gamma(x)))/dx^m, \quad \text{где } \Gamma(x) = \int_0^{\infty} t^{x-1} e^{-t} dt - \text{гамма функция} \quad (27)$$

Исходя из соотношений (27) получаем, что  $\pi^4/15 = \text{Psi}(3, 1)$ .

В заключение укажем, что физическое обоснование возможности существования двух компонент в равновесном излучении Хокинга от вращающихся чёрных дыр [5-14] будет проведено в отдельной дискуссионной статье. Дело, во-первых, в том, что последовательная теория квантовой гравитации пока не создана и, кроме того, не во всех «обычных» теориях гравитации (напр., в релятивистской теории гравитации [15] акад. А. Логунова), альтернативных общей теории относительности (см. [11-12]), признаётся само существование чёрных и белых дыр. Более того, сам Хокинг в своей статье [10] 2014 г. отказался от предположения о наличии у чёрной дыры чёткого «горизонта событий» в попытке решить проблему несохранения информации при возвращении части квантово-спутанных фотонов в чёрную дыру, сравнив теоретические предсказания свойств чёрных дыр с предсказаниями погоды.

### **ЛИТЕРАТУРА**

1. *Макс Планк*. Единство физической картины мира. Сб. статей. Научная автобиография. М., Наука, 1966. – 287 С.
2. *А.Н. Шелаев*. К возможности существования двух компонент в излучении Планка. Актуальные проблемы современной науки, 2012, № 2, - С.115-119.

3. *А.Н. Шелаев*. Нетривиальные соотношения в равновесном тепловом излучении Планка. Академия тринитаризма, [www.trinitas.ru](http://www.trinitas.ru), М., Эл. 77-6567, публ. 18360, 10.12.2013. - 10 С.
4. *А.Н. Шелаев*. Математическое обоснование возможности существования двух компонент в излучении Планка. Академия тринитаризма, [www.trinitas.ru](http://www.trinitas.ru), М., Эл. 77-6567, публ. 19788, 20.11.2014. – 8 С.
5. *С.Хокинг*. Рождение частиц в чёрных дырах. Ст. в сб. *А.Эйнштейн и теория гравитации*. М., Мир, 1979. – С.479-512.
6. *С. Хокинг*. Интегралы по траекториям в приложении к квантовой гравитации. Ст. в сб. *Общая теория относительности*. М., Мир, 1983. - С. 363-406.
7. *С. Хокинг*. Чёрные дыры и молодые Вселенные. Пер. с англ. СПб, Амфора, 2001. – 189 С.
8. *С.Хокинг*. Теория всего. Пер. с англ., СПб, Амфора, 2009. – 160 С.
9. *С. Хокинг, Р. Пенроуз*. Природа пространства и времени. Пер. с англ., СПб, Амфора, 2014. – 172 С.
10. *С.W. Hawking*. Information Preservation and Weather Forecasting. ArXiv. 22.01.2014.
11. *Я.Б. Зельдович, П.П. Грищук*. Тяготение. Общая теория относительности и альтернативные теории. УФН, 1986, т. 149, в. 4, - С. 695-707.
12. *Я.Б. Зельдович, П.П. Грищук*. Общая теория относительности верна. УФН, 1988, т. 155, в. 3, - С.517-527.
13. *И.Д. Новиков, В.П. Фролов*. Физика чёрных дыр. М., Наука, 1986. - 328 С.
14. *С. Чандрасекар*. Математическая теория чёрных дыр. Пер с англ. М., Мир, 1986. Ч. 1. – 276 С. Ч. 2 – 355 С.
15. *А.А. Логунов*. Релятивистская теория гравитации. М., Наука, 2006, - 253 С.

